

# بررسی امکان به کار گیری شبکه های عصبی مصنوعی در مدل سازی وارون دو بعدی ترکیبی داده های دو مد قطبش روش مگنتوتلوریک

نوشته: علی مرادزاده<sup>\*</sup>، فاطمه طهماسبی<sup>\*</sup> و محمد مهدی فاتح<sup>\*\*</sup>

\*دانشکده مهندسی معدن و ژئوفیزیک، دانشگاه صنعتی شاهرود \*\*دانشکده مهندسی برق و رباتیک، دانشگاه صنعتی شاهرود

## An Investigation on the Possibility of Two-Dimensional Joint Inversion of TE and TM Modes Data in Magnetotelluric (MT) Survey using Artificial Neural Network

By: A. Moradzadeh\*, F. Tahmasbi\* & M. Fateh\*\*

\* Faculty of Mining Eng. & Geophysics, Shahrood University of Technology

\*\* Faculty of Electrical Eng. & Robotic, Shahrood University of Technology

تاریخ دریافت: ۱۳۸۳/۱۰/۰۶

تاریخ پذیرش: ۱۳۸۵/۰۷/۱۸

### چکیده

روش مگنتوتلوریک یکی از روش های الکترو مغناطیس با چشمی طبیعی است که برای کسب اطلاعات الکتریکی از ساختارهای زیرزمینی استفاده می شود. کاربرد این روش، بیشتر برای اکتشاف منابع زمین گرمایی، نفت و ذخایر معدنی است. با توجه به اینکه داده های اندازه گیری شده در روش مذکور حجمی و دارای ساختاری پیچیده هستند، از این رو مدل سازی وارون داده های حاصل نسبت به دیگر روش های الکتریکی مشکل تر و در بعضی از موارد ناممکن است. هدف این مقاله، بر این است که قابلیت های شبکه های عصبی مصنوعی برای مدل سازی وارون ترکیبی داده های فاز و مقاومت ویژه دو مد قطبش این روش مورد بررسی قرار گیرد. به منظور نیل به این هدف از شبکه پرسپترون چند لایه با قانون فرا گیری پس انتشار خط استفاده شد. برای آموزش و طراحی شبکه مناسب، چندین مدل مصنوعی در گروه مورد نظر ساخته شد و سپس با مدل سازی مستقیم داده های مقاومت ویژه و فاز آنها برای دو مد قطبش الکتریکی عرضی: TE (Transverse Electric) و TM (Transverse Magnetic) در چندین بسامد تولید شد. پس از بررسیهای جامع، یک شبکه پرسپترون سه لایه با ساختار ۹-۶-۹ طراحی شد و از آن برای مدل سازی دو بعدی استفاده شد. بررسی نتایج به دست آمده نشان می دهد که شبکه طراحی شده از دقت قابل قبولی برای مدل سازی داده های مگنتوتلوریک برخوردار است، به گونه ای که برای یکی از مدل های آزمایشی، مقدار میانگین خطای نسی در برابر نویه (Noise) ۳/۹ درصد و در حضور ۵ درصد نویه ۶/۹ درصد است، که این امر حاکی از دقت خوب شبکه در برآورد پارامترهای مدل زیرزمینی است. همچنین نتایج مدل سازی شبکه برای یک مجموعه داده های صحرایی و مقایسه آن با نتایج یکی دیگر از روش های معمول مدل سازی وارون نشان می دهد که مدلها و پارامترهای به دست آمده توسط دو روش فوق، از شباهت و همخوانی خوبی برخوردار هستند که این مطلب گویای توانمندی شبکه طراحی شده برای مدل سازی داده های موردنظر است.

**کلیدواژه ها:** روش مگنتوتلوریک، مدل سازی وارون ترکیبی، شبکه عصبی مصنوعی، مدهای قطبش الکتریکی عرضی و مغناطیس عرضی، داده های فاز و مقاومت ویژه.

### Abstract

The magnetotelluric (MT) method is a natural source electromagnetic geophysical technique, which is used mainly in petroleum, mineral and geothermal exploration. As in this method, the quantity of the measured data is bulky and have a complex structure, their modeling, compared with the modeling of the other electrical data, is a very complex task or even impossible in some instances.

The main objective of this paper is to use the ability of the artificial neural networks (ANN) to find a solution for two-dimensional (2D) joint TE (transverse electric) and TM (transverse magnetic) modes inverse modeling of MT data. To achieve the goal, a multilayer perceptron (MLP) network with back propagation (BP) learning algorithm is used. In order to learn the de-

signed network, many synthetic 2D models with the same category, have been created and their responses have been calculated for each polarization mode by forward modeling. Synthetic data include apparent resistivity and impedance phase in 9 stations and 11 frequencies in two polarization modes. After a comprehensive study, a perceptron with 3 layers and architecture of 396-9-9 has been designed and used to model the data.

This study show that the designed network is capable enough to produce an acceptable 2D underground model so that the correspondence mean relative modeling error is 3.9% and 6.9 % respectively for noise free data and 5 percent randomly added noisy data. This indicates that if ANN is designed and trained properly, then it would be capable enough to perform 2D inverse modeling of MT data. It has also shown that once the designed network has been trained properly it is able to perform the inverse modeling precisely in a short time. At the end, the performance of the designed network has been evaluated by a set of field MT data and its results has been compared with those produced by a common smooth rapid relaxation inversion (RRI) method. The comparison indicates that the results of these two different procedures are in close agreement.

**Keywords:** MT method, Joint inversion, Artificial neural networks, TE and TM modes, Resistivity and phase data

#### مقدمه

در میدان مغناطیس زمین به عنوان چشممه موج استفاده می‌شود. از مهم‌ترین منابع این امواج، می‌توان به فعالیتهای خورشیدی، آذرخشها، شفشهای قطبی، حرکت‌های نسبی زمین، خورشید و ماه و همچنین میدانهای ناشی از گردبادهای بزرگ اشاره کرد (Dobrin & Sovit, 1988; Telford et al., 1990; Vozoff, 1991).

امواج ایجاد شده تقریباً بدون تضعیف، پوسته نارسانای هوا را طی کرده و به سطح زمین برخورد می‌کند، بیشتر انرژی تابشی در سطح زمین بازتاب می‌شود و تنها بخش کوچکی از آن به طور عمود وارد زمین می‌شوند (Vozoff, 1991). که باعث القای جریانهای الکتریکی در درون زمین و پس از آن تولید میدانهای الکترو-مغناطیسی ثانویه می‌شوند.

تغییرات میدانهای الکتریکی و مغناطیسی در سطح زمین به طور همزمان برای باندهای سامدی مورد نظر اندازه‌گیری می‌شود و سپس با پردازشها لازم، نسبت میدانهای الکتریکی و مغناطیسی در هر بسامد کمیت مختلطی به نام پاگیری (امپدانس) الکتریکی ( $Z_{ij} = E_i/H_j$ ) را نتیجه می‌دهد. با استفاده از پاگیری الکتریکی و رابطه زیر می‌توان مقاومت ویژه ظاهری و فاز پاگیری را در هر بسامد به دست آورد.

$$\rho_{ij} = 0.2T |Z_{ij}|^2 \quad \Omega m \quad i,j = x,y \quad (1)$$

$$\varphi_{ij} = \tan^{-1}(\text{Im}(Z_{ij})/\text{Re}(Z_{ij}))$$

در رابطه فوق  $\rho_{ij}$  مقاومت ویژه ظاهری بر حسب اهم-متر،  $T$  پریود اندازه‌گیری بر حسب ثانیه،  $\varphi_{ij}$  فاز پاگیری الکتریکی بر حسب درجه،  $\text{Im}(Z_{ij})$  بخش موهومی پاگیری الکتریکی و  $\text{Re}(Z_{ij})$  بخش حقیقی پاگیری الکتریکی است (Kaufman & Keller, 1981).

برای یک نیم فضای همگن مقاومت ویژه و فاز پاگیری به صورت زیر محاسبه می‌شود:

وارون سازی داده‌های الکترو-مغناطیسی، روش‌های مختلفی دارد که میزان دقیقت هر یک از این روشها به کیفیت داده‌ها و روش مورد استفاده در تفسیر و پردازش داده‌ها بستگی دارد. استفاده از روش‌های معمول مدل‌سازی وارون (معکوس) (Inverse modelling) (Aglab نیاز به یک حدس اولیه در مورد پارامترهای مدل دارد که این امر مستلزم شناسایی برخی از پارامترهای مدل با استفاده از دیگر روش‌های ژئوفیزیکی و یا اطلاعات زمین‌شناسی است (مرادزاده و عرب امیری، ۱۳۸۳). همچنین این روشها به دلیل استفاده از الگوریتمهای تکرار شونده، بسیار زمان بر هستند. روش‌های معمول وارون سازی اغلب از روش‌های عددی در حل معادلات حاکم بر مسئله استفاده می‌کنند (Wannamaker et al., 1987; Mackie et al., 1993) که حل معادلات با استفاده از این روشها بویژه در مورد ساختارهای دو بعدی و سه بعدی منجر به افزایش زمان محاسبات و همچنین به دلیل فرضیات مختلف ساده‌سازی مسئله موجب کاهش دقیق شود. مشکل فوق با در نظر گرفتن خاصیت پخشی (Diffusive) امواج مگنتوتولوریک (MT: Magnetotelluric) و پیچیدگی و حجمی بودن داده‌ها افزایش می‌یابد. از سوی دیگر وارون سازی داده‌های حاوی نویه نیز منجر به حصول نتایج دور از واقعیت می‌شود (Spichak & Popova, 2000). با توجه به غیرخطی بودن روابط بین پارامترهای مدل و پاسخ مدل و توانمندی شبکه‌های عصبی مصنوعی در حل چنین مسائلی به نظر می‌رسد، این شبکه‌ها بتوانند گزینه مناسبی برای مدل‌سازی، دست کم در مواردی که، ساختار زیر سطحی زمین مورد مطالعه ساده باشد، فراهم نمایند و علاوه بر آن پردازش همزمان داده‌ها را امکان‌پذیر سازند.

#### تئوری روش مگنتوتولوریک

در روش‌های الکترو-مغناطیس چشممه طبیعی (Magnetotelluric) از تغییرات طبیعی

افقی ثابت است که به آن جهت امتداد می‌گویند و معادلات درهم کش امواج مگنتوتولوریک در دو مُد قطبش بررسی می‌شود. زمانی که مؤلفه میدان الکتریکی در جهت امتداد باشد این وضعیت را مُد الکتریکی عرضی (TE) می‌نامند و حالتی که مؤلفه میدان مغناطیسی در جهت امتداد باشد این وضعیت را مُد مغناطیسی عرضی (TM) می‌نامند (شکل ۱). رفتار این دونوع قطبش در برخورد با ناهمگنی‌های جانبی متفاوت است. از مُد TE برای شناسایی ساختارهای ژرف و از مُد TM برای شناسایی ساختارهای کم‌ژرفا استفاده می‌شود. (Moradzadeh, 1998; Berdichevsky et al., 1998)

مدل‌سازی و تفسیر دو بعدی داده‌های فاز و مقاومت ویژه هر مُد می‌تواند به طور جداگانه صورت گیرد ولی برای بهره‌مندی از قابلیتهای هر دو مُد، مدل‌سازی داده‌های هر دو مُد به صورت ترکیبی (Joint) انجام می‌شود. به همین دلیل در مطالعه حاضر قابلیت مدل‌سازی وارون توسط شبکه عصبی بر روی ترکیب داده‌های هر دو مُد بررسی می‌شود. برای فهم بیشتر چگونگی انجام کار و پیش از پرداختن به طراحی و آموزش شبکه، لازم است ابتدا اصول و مبانی شبکه‌های عصبی مصنوعی و الگوریتم آموزشی شبکه مورد استفاده به طور فشرده مورد بررسی قرار گیرد.

### شبکه پرسپترون (Multilayer Perceptron :MLP) با الگوریتم آموزشی پس انتشار خطأ (Back Propagation :BP)

شبکه‌های عصبی مصنوعی، الگوی بسیار ساده‌ای از دستگاه عصبی انسان و دارای قابلیت یادگیری هستند. دستگاه یادگیری آنها مشابه دستگاه یادگیری انسان است. شبکه‌های عصبی مصنوعی با دریافت الگوهای ورودی (Input pattern) قادر به استخراج مشخصات آنها و نسبت دادن یک گروه خاص به آنهاست، به این ترتیب در خلال فرایند آموزش، آنها مشخصات الگوها و گروه مورد نظر را با تطبیق دادن یک سری ضرایب وزنی به خاطر می‌سپرند. چنانچه آموزش به درستی صورت گیرد آنها قادر به دسته‌بندی (Classification) الگوها هستند (Poulton, 2001).

تمام شبکه‌های عصبی دست کم در سه مؤلفه اصلی متشتمل هستند.

۱- نرون یا گره یا واحد پردازش (Processing Element :PE)

۲- وزنهای ارتباطی

۳- لایه‌های مجزایی که شامل نرونها هستند و توسط وزنها به هم مرتبط می‌شوند.

در هر نرون حاصلضرب نقطه‌ای بردار ورودی (P) و ماتریس وزنی (W) جمع وزنی (Sum) را تشکیل می‌دهد. جمع وزنی ورودیها در هنگام عبور از یک تابع تحریکی (Activation function) f با آستانه آن (T) مقایسه می‌شود.

$$\rho_{xy} = \rho_{yx} = \rho \quad (2)$$

$\phi = \pi/4$  که در آن،  $\rho$  مقاومت ویژه واقعی نیم فضای همگن است. این مقادیر برای ساختارهای یک بعدی ژئالکتریکی نیز به این صورت محاسبه می‌شود (Telford et al., 1990) :

$$\rho_{xy} = \rho_{yx} = \rho_a \quad (3)$$

در این رابطه  $a$  مقاومت ویژه ظاهری و تابع بسامد است. در چنین ساختاری هنگام عبور از یک محیط مقاوم به یک محیط رسانا مقدار فاز از  $\pi/4$  بالاتر می‌رود و هنگام عبور از یک محیط رسانا به یک محیط مقاوم مقدار فاز از  $4\pi/4$  کمتر می‌شود.

به منظور ارزیابی از ژرفای نفوذ امواج الکترومغناطیسی در درون زمین، از معیاری به نام ژرفای پوسته‌ای ( $\delta$ ) (Skin Depth) استفاده می‌شود که مقدار آن برای یک زمین همگن و همسانگرد برابر ژرفایی است که در آن دامنه موج به  $e^{-1}$  مقدارش در سطح زمین کاهش می‌یابد. ارتباط این کمیت با مقاومت ویژه و نفوذ پذیری مغناطیسی زمین و همچنین بسامد امواج نفوذی به صورت زیر است (Vozoff, 1991) :

$$\delta = \left( \frac{2}{\omega \mu \sigma} \right)^{\frac{1}{2}} \approx 503 \sqrt{\frac{\rho}{f}} \quad (4)$$

که در آن  $\rho$  مقاومت ویژه زمین بر حسب اهم - متر،  $\mu$  ضریب نفوذ پذیری مغناطیسی زمین بر حسب هانزی بر متر،  $f$  بسامد موج بر حسب هertz و  $\delta$  ژرفای پوست بر حسب متر است. رابطه فوق نشان می‌دهد که در روش مگنتوتولوریک مانند دیگر روش‌های اکتشاف الکترومغناطیسی، با کاهش بسامد موج می‌توان به ژرفای بیشتری دست یافت در حالی که با کاهش مقاومت ویژه زمین ژرفای نفوذ اکتشاف کاهش می‌یابد.

از آنجاکه رابطه ۴ مقدار ژرفای نفوذ امواج الکترومغناطیس را فقط برای زمین همگن و همسانگرد بیان می‌کند ولی در عمل ما با زمین ناهمگن و ناهمسانگرد مواجه هستیم بهتر است رابطه فوق برای به دست آوردن ژرفای نفوذ مؤثر اکتشافی (D) مورد بازبینی قرار گیرد. در رابطه زیر مقدار ژرفای نفوذ مؤثری که غالباً در روش‌های اکتشافی مگنتوتولوریک مورد استفاده قرار می‌گیرد، بر حسب متر، داده شده است (Zonge & Hughes, 1991) :

$$D = \delta / \sqrt{2} = 356 \sqrt{\frac{\rho}{f}} \quad (5)$$

در ساختارهای ژئالکتریکی دو بعدی خواص الکتریکی به موازات یک جهت

الگوریتم آموزشی پس انتشار خطا یک روش کاهش شبکه (Gradient descent) است. ضعف عده این الگوریتم، سرعت کم همگرایی آن و نیز توقف یادگیری شبکه به دلیل به دام افتادن شبکه در نقاط کمینه محلی (Local minimum) است. در این روش، به دلیل ثابت بودن مقدار آهنگ یادگیری در حین آموزش، عملکرد الگوریتم آموزشی به انتخاب مناسب آهنگ یادگیری بسیار حساس است. از آنجا که پیش از آموزش انتخاب مناسب آهنگ یادگیری عملی نیست، چنانچه ما اجازه تغییر آهنگ یادگیری در خلال فرایند آموزش را بدheim، عملکرد الگوریتم کاهش شبکه می‌تواند توسعه یابد (منهاج، ۱۳۷۹؛ Poulton et al., 1992).

در روش‌های آموزشی سریع‌تر مانند روش لونبرگ-مارکوآرت (Levenberg & Marquardt) که با اعمال تغییراتی در الگوریتم پس انتشار خطا حاصل شده است، آهنگ یادگیری ثابت نیست و در خلال آموزش شبکه تغییر می‌کند. به همین دلیل در این تحقیق از الگوریتم لونبرگ - مارکوآرت به عنوان یک روش آموزشی سریع برای مدل‌سازی داده‌های مکتوتلوریک استفاده شد.

### انتخاب کلاس مدل آموزشی

در طراحی یک شبکه، شیوه انتخاب کلاس مدل از اهمیت زیادی در آموزش صحیح آن برخوردار است. در انتخاب کلاس مدل‌های آموزشی باید ضمن ساده‌سازی مدل انتخابی به طبیعت داده‌های صحرایی اندازه‌گیری شده که مدل‌سازی برای آنها صورت می‌گیرد نیز توجه شود. داده‌های صحرایی مورد استفاده در این تحقیق توسط نگارنده اول مقاله در طول نیمرخی به طول ۱۲ کیلومتر در استرالیای جنوبی برداشت شد. برداشت داده‌ها در ۹ استیگ و ۲۱ بسامد صورت گرفت. در شکل‌های ۳ و ۴ شبکه مقاطع مقاومت ویژه و فاز داده‌های حاصل برای دو مُد TE و TM ارائه شده است.

نیمرخ مذکور در یک دشت وسیع با توپوگرافی آرام قرار دارد و به همین دلیل از آوردن توپوگرافی مسیر در شبکه مقاطع خودداری شده است. نگاهی اجمالی به شبکه مقاطع داده شده نشان می‌دهد که دو بی‌هنجاری رسانا با مقاومت ویژه ظاهری حدود ۱۰ اهم - متر و فاز بیش از ۶۰ درجه در طرفین نیمرخ وجود دارد که البته بی‌هنجاری سمت راستی از گسترش بیشتری برخوردار است. بنابراین با توجه به اصل ساده‌سازی، کلاس مدل مورد استفاده برای آموزش شبکه عصبی مورد استفاده مطابق شکل ۵ دو بی‌هنجاری رسانا (توده رسانا) مذکون در یک نیم فضای همگن انتخاب شد. علاوه بر آن برای کاهش تعداد پارامترهایی که باید برآورد شود شکل بی‌هنجاریها به صورت مستطیل تقریب شد، شکل بی‌هنجاریهای واقعی، هر چه باشد، می‌توان آنها را در

چنانچه این جمع وزنی از مقدار آستانه فراتر رود نرون فعل می‌شود در غیر این صورت، نافع‌باقی می‌ماند (Melsa, 1989; Poulton et al., 1992). وزنها و مقدار آستانه با توجه به نوع مسئله به گونه‌ای محاسبه می‌شوند و تغییر می‌یابند تا هدف مسئله تأمین گردد. عموماً شبکه‌ها دارای چند لایه هستند (شکل ۲).

این لایه‌ها عبارتند از لایه ورودی با تعداد نرونها برابر با تعداد عناصر بردار ورودی، لایه خروجی که خروجی آن خروجی نهایی شبکه می‌باشد و لایه‌های پنهان که بین لایه ورودی و لایه خروجی قرار می‌گیرند، لازم به ذکر است که لایه‌های مختلف می‌توانند توابع تحریک متفاوت داشته باشند. در این تحقیق از یک شبکه پیشخور (Feed Forward) با ناظر با قانون فراگیری پس انتشار خطا استفاده شده است که در آن در هر لایه هر نرون به تمام نرونها لایه بعدی متصل است (شکل ۲). در شبکه پیشخور، نرونها، ورودی خود را تنها از لایه قبلی دریافت و خروجی خود را تنها به لایه بعدی منتقل می‌کنند (منهاج، ۱۳۷۹؛ Poulton et al., 2001).

در یک شبکه با ناظر، جهت آموزش شبکه، باید خروجی‌های مطلوب (Desired output) (dpk) این روش فراگیری، الگوهای خروجی مطلوب با خروجی محاسبه شده توسط شبکه با عنوان خروجی واقعی (Opk)، مقایسه می‌شود و اختلاف بین آنها (ep)، می‌بایست با تغییر وزنها شبکه به کمک رابطه زیر کمینه شود. لازم به ذکر است وزنها اولیه در شبکه به صورت تصادفی هستند.

$$e_p = \frac{1}{2} \sum_{k=1}^l (d_{pk} - o_{pk})^2 \quad (6)$$

خطای  $e_p$  خطای محاسبه شده برای  $p$  این الگوی ورودی می‌باشد. در یک شبکه با الگوریتم آموزشی پس انتشار خطا ابتدا ورودی شبکه به طور مستقیم در طول شبکه به منظور محاسبه خروجی شبکه جریان می‌یابد. چنانچه مقدار خروجی شبکه با مقدار خروجی مطلوب در لایه خروجی متفاوت باشد با استفاده از خطای تعریف شده، مقدار تغییرات وزن  $\Delta w_{ji}$ ، برای هر ضرب وزنی محاسبه و وزنها بازگشت این تغییرات در طول شبکه تصحیح می‌شوند. چگونگی تصحیح ضرایب وزنی به صورت زیر است (Turhan, 1995).

$$\Delta w_{ji} = -\alpha \partial e_p / \partial w_{ji} \quad (7)$$

که در آن  $\alpha$  یک کمیت مثبت و ثابت موسوم به آهنگ یادگیری (Learning rate) است که در واقع اندازه گامها را در جهت دستیابی به کمینه خطاب تنظیم می‌کند و انتخاب مناسب برای آن جهت عملکرد صحیح روش آموزش حیاتی است.





یک فضای ۹ بعدی است بنابراین پارامترهای مدل‌های تولید شده باید تقریباً این فضای ۹ بعدی را پوشش دهند. جهت تولید نمونه‌های آموزشی، برای هر پارامتر خروجی با تعریف کرانهای بالا و پایین یک محدوده معینی در نظر گرفته شده است. هرچه گامهای حرکت در محدوده‌های تعریف شده کوچک‌تر باشد، داده‌های بیشتری برای تقریب رابطه خروجی بر حسب ورودی فراهم می‌شود.

از آنجا که ابتدا از میزان حساسیت شبکه به داده‌ها اطلاعی در دست نیست، لذا پوشش فضای مدل در مورد تمام پارامترها به طور یکنواخت صورت می‌گیرد. نکته مهم‌تر در تولید نمونه‌های آموزشی، حفظ تابیخ خوب بین مقاومت ویژه زمینه و بی‌هنگاریها (توده‌ها) با توجه به ابعاد و ژرفای آنها و بسامدهای اندازه‌گیری است. فرض کنید در تولید نمونه‌های آموزشی، پوشش خوب فضای مدل مد نظر قرار گرفته است اما به رغم این موضوع، شبکه ممکن است پس از آموزش به خوبی پاسخ ندهد. علت این امر عدم رعایت تابیخ مقاومت ویژه بی‌هنگاریها و زمینه با توجه به ژرفای بی‌هنگاریها، پریود یا بسامد اندازه‌گیری و ابعاد بی‌هنگاریها می‌باشد. مثلاً چنانچه در چندین نمونه آموزشی تولید شده که در آنها بی‌هنگاریهای کوچکی در قسمتهای ژرف زمین قرار گرفته باشند، تابیخ مقاومت ویژه بسیار ضعیف باشد، داده‌های ثبت شده با توجه به بسامدهای اندازه‌گیری ممکن است حضور بی‌هنگاری را در این نمونه‌ها نشان ندهد. به بیان دیگر مانند این است که شبکه به ازای چندین الگوی ورودی یکسان، الگوهای خروجی کاملاً متفاوت دریافت کند این امر باعث می‌شود که به شبکه یک سری نمونه‌های آموزشی اضافی ارائه شود که هیچ نقشی جز افزایش خطای شبکه، طی فرایند یادگیری ندارند. این نکته به وضوح پس از آموزش شبکه مشاهده شد که خطای روی مدل‌هایی که تابیخ مقاومت ویژه ضعیفتری داشته‌اند و بی‌هنگاریها از ابعاد کوچک‌تری نیز برخوردار بودند، افزایش یافته است. به همین جهت برای دست‌یابی به خطای کمتر در اختیار داشتن تعداد بیشتری از داده‌های مناسب است.

به هر اندازه تعداد نمونه‌های آموزشی با خروجی متفاوت، اما ورودی نزدیک به هم در بین داده‌ها بیشتر باشد، شبکه دچار خطای بیشتری خواهد شد. بنابراین خطای شبکه در مناطقی از فضای مدل که چگال‌تر است و تابیخ مقاومت ویژه بهتری دارد، کاهش می‌یابد. نمونه‌های آموزشی مورد نیاز در این تحقیق به طور مصنوعی توسط نرم افزار EMIXMT2D تولید شده است. این نرم افزار قابلیت مدل‌سازی دو بعدی معکوس و مستقیم داده‌های مگنتوتولریک برای مدهای TE و TM و یا هر دوی آنها با هم را دارد (Stoyer et al., 1999). همان طور که اشاره

یک مستطیل محاط، یا بر یک مستطیل محیط کرد، این ساده‌سازی به عنوان نقطه شروع در بررسی توانمندیهای شبکه عصبی در وارونه‌سازی داده‌های مگنتوتولریک، مناسب به نظر می‌آید. علاوه بر موارد فوق، برای شبیه‌سازی هر چه بیشتر شرایط صحراوی، طول نیمتر مورد استفاده در مدل‌های مصنوعی ساخته شده (شکل ۵) همانند طول نیمتر واقعی ۱۲ کیلومتر با ۹ محل سوندazer مگنتوتولریک با فاصله ۱۵۰۰ متر در نظر گرفته شده است.

### تعیین پارامترهای ورودی و خروجی شبکه

در طراحی یک شبکه، پارامترهای ورودی و خروجی آن جزو پارامترهای آزاد نیستند و توسط مسئله تعیین می‌شوند. در این بررسی پارامترهای ورودی شبکه، پاسخ زمین به امواج مگنتوتولریک در حوزه سامد است که شامل مقاومت ویژه ظاهری و فاز پاگیری برای دو مُد در ایستگاههای مختلف و بسامدهای مورد نظر هستند. پارامترهای خروجی شبکه نیز همان پارامترهای مدل زیر زمینی می‌باشند. مطابق شکل ۵ پارامترهای مدل عبارتند از:

$$c = \rho_B / \rho_{An}$$

می‌باشد. با توجه به داده‌های موجود صحراوی (شکل‌های ۳ و ۴) مقاومت ویژه بی‌هنگاریها ثابت و برابر با ۱۰ اهم - متر فرض شده است.

$x_1, z_1$ : مختصات مرکز بی‌هنگاری رسانای سمت چپ

$d_1$ : نصف طول بی‌هنگاری سمت چپ

$d_2$ : نصف عرض بی‌هنگاری سمت چپ

$x_2, z_2$ : مختصات مرکز بی‌هنگاری رسانای سمت راست

$d_3$ : نصف طول بی‌هنگاری سمت راست

$d_4$ : نصف عرض بی‌هنگاری سمت راست

به این ترتیب برای مدل ارائه شده در شکل ۵، شبکه باید برای برآورد ۹ پارامتر فوق آموزش بینند.

### طراحی و آموزش شبکه

برای آموزش شبکه نمونه‌های آموزشی مورد نیاز است. یک نمونه آموزشی از دو بردار ورودی و خروجی تشکیل می‌شود. بردار ورودی شامل داده‌های مصنوعی تولید شده در ایستگاهها و بسامدهای مختلف و بردار خروجی شامل پارامترهای مدل می‌باشد. تولید نمونه‌های آموزشی با توجه به خروجیهای شبکه (پارامترهای مدل) صورت گرفته است. با توجه به حضور ۹ پارامتر خروجی، وزنها و بایاسهای شبکه باید در خلال فرایند آموزش به گونه‌ای تغییر یابند و اصلاح شوند که مجموع خطای پارامترهای خروجی شبکه کاهش یابد. وجود ۹ پارامتر خروجی در شبکه، معادل با در نظر گرفتن

$$Err_j = \frac{1}{N_{test}} \sum_n \frac{|target_{n,j} - neural_{n,j}|}{target} \times 100\% \quad (9)$$

$$j = 1, \dots, N_{par} \quad n = 1, \dots, N_{test}$$

که در روابط فوق:

$N_{par} (=9)$  : تعداد نرون‌های خروجی،  $N_{test}$  : تعداد نمونه‌های آزمایشی،  $max(j), min(j)$  کمترین و بیشترین مقادیر زامین پارامتر در سری آموزشی  $neural(n,j)$  نتیجه پیش‌بینی شبکه برای زامین پارامتر در  $n$  امین نمونه آزمایشی و  $target(n,j)$  مقدار هدف برای زامین پارامتر در  $n$  امین نمونه آزمایشی است.

به دلیل این که وارون‌سازی داده‌ها به عنوان یک مسئله برآورد تابع است در عمل از تابع محرك غیر خطی برای نرون‌های لایه پنهان و از تابع خطی برای لایه خروجی استفاده می‌شود (راهنمای نرم‌افزار Matlab 2002 Poulton,2001) در این تحقیق انواع توابع غیر خطی مورد آزمایش قرار گرفت و در عمل از تابع سیگمویدی لگاریتمی با فرمول  $logsig(x) = 1/(1+exp(-x))$  به دلیل ارائه نتایج بهتر استفاده شد.

از آنجا که گستره تغییرات داده‌های مورد بررسی بسیار زیاد است، و از طرفی طبیعت تابع محرك مورد استفاده در اغلب شبکه‌ها نیاز به این دارند که ورودی‌هایشان در یک گستره محدود قرار گیرند، این تابع معمولاً در مقادیر کوچک و بزرگ مسطح می‌شوند و در دنباله‌هایشان دیگر به تغییر مقادیر ورودی حساس نیستند. بنابراین، اغلب به جای استفاده از خود داده‌ها مقادیر بهنجار شده آنها استفاده می‌شود. به کار بردن روش‌هایی برای قرار دادن داده‌های ورودی در یک گستره محدود بهنجار کردن مقادیر یا دوباره مقیاس‌بندی کردن (Re-scaling) می‌نامند که یکی از روش‌های پیش‌پردازش است (Poulton,2001). از دیگر مزایای قرار دادن ورودی‌ها در یک گستره محدود، جلوگیری از رشد زیاد وزنها می‌باشد. این محدودیت، مدت زمان همگرایی شبکه و حصول کمینه خطای را کاهش می‌دهد. داده‌های خروجی نیز غالباً جهت آموزش دادن به شبکه بهنجار می‌شوند و پیش از تحلیل نتایج به واحدهای اصلی برگردانده می‌شوند. برای بهنجار کردن داده‌های مورد مطالعه روش‌های مختلفی مورد امتحان قرار گرفته‌اند که در نهایت استفاده از رابطه زیر برای بهنجار کردن داده‌هادر محدوده  $[1, -1]$ -[نتایج بهتری را ارائه داد.

$$p_n = \frac{2(p - \min p)}{(\max p - \min p)} - 1 \quad (10)$$

که در این رابطه  $p$ : ماتریس ورودی به ابعاد  $R \times Q$ ,  $p_n$ : ماتریس ورودی‌های بهنجار شده به ابعاد  $Q \times R$ ,  $\min p$ : بردار شامل مقدار کمینه به ازای هر  $p$  و  $\max p$ : بردار شامل مقدار بیشینه به ازای هر  $p$  است.

شد به منظور تولید نمونه‌های آموزشی، برای هر پارامتر خروجی با تعریف کرانه‌ای بالا و پایین یک محدوده معینی در نظر گرفته شد و سعی شد تا گامهای حرکت در محدوده‌های تعیین شده برای تمام پارامترها یکنواخت باشد. برای هریک از مدلها، داده‌ها به صورت مقاومت ویژه ظاهری و فاز در ۹ ایستگاه و ۱۱ بسامد ( $17/1875$ ,  $5/6641$ ,  $0/830$ ,  $0/1465$ ,  $0/0031$ ,  $0/0018$  و  $0/0073$ ) برای دو مدد  $N_{tr}$  تولید شدند. با توجه به رابطه  $N = N_{tr} N_T N_S$  که در آن  $N_T$  تعداد مؤلفه‌های مورد استفاده در وارون‌سازی،  $N_S$  تعداد بسامدها و  $N_{tr}$  تعداد ایستگاه‌های برداشت می‌باشد، به ازای هر مدل در هر دو مدد در مجموع ۳۹۶ داده تولید شد. هر نمونه آموزشی با حرکت افقی و قائم بی‌亨جاريها سمت به یکدیگر و تغییر همزمان ابعاد و مقاومت ویژه زمینه تولید شد.

تعداد نمونه‌های آموزشی برای دستیابی به یک دقت خوب و تعمیم‌دهی مناسب، باید بزرگ‌تر از تعداد وزنهای داخلی باشد (Van der Bean & Jutten,2000; Poulton,2001) بزرگ (مانند شبکه مورد نظر) نیاز به سری آموزشی بزرگی برای ایجاد توازن بین تعداد وزنهای ارتقابی و نمونه‌های آموزشی دارد. این شبکه با وجود ۳۹۶ نرون در لایه ورودی و ۹ نرون در لایه خروجی، یک شبکه نسبتاً بزرگ می‌باشد و تولید و به کارگیری تعداد زیادی نمونه آموزشی با توجه به امکانات محدود رایانه‌ای در دسترس (PIV-2800MHz) و عدم آگاهی از تعداد وزنهای داخلی پیش از آموزش شبکه کار بسیار دشواری است. به همین دلیل از روش دیگری با نام توقف سریع (Early stoping) برای تعمیم‌دهی و تسريع در امر آموزش و طراحی شبکه استفاده شد. در این روش، از تقسیم سری آموزشی به سه دسته آموزشی (Training)، اعتبارسنجی (Validation) و آزمایشی (Testing) استفاده شد. در این تقسیم‌بندی ۲۰ درصد از کل نمونه‌های آموزشی به طور تصادفی برای اعتبارسنجی، ۱۰ درصد برای آزمایش و ۷۰ درصد نیز برای آموزش شبکه انتخاب شد. (Root Mean Squares) RMS به منظور بررسی عملکرد شبکه از خطای تعريف شده به صورت زیر استفاده شد. این خطای روی سری آزمایشی و به ازای تمام پارامترها تعريف شده است (Spichak & Popova,2000)

$$RMS = \left[ \frac{1}{N_{test} N_{par}} \sum_{n,j} err_{n,j}^2 \right]^{\frac{1}{2}} \quad (8)$$

$$err(n,j) = [target(n,j) - neural(n,j)] / [max(j) - min(j)]$$

$$j = 1, \dots, N_{par} \quad n = 1, \dots, N_{test}$$

علاوه بر آن به منظور ارزیابی کیفیت مدل‌سازی داده‌ها توسط شبکه عصبی، برای هر پارامتر مجھول زام، میانگین خطای نسبی روی تمام نمونه‌های آزمایشی به صورت زیر محاسبه شد (Spichak & Popova,2000).



## بحث

همان طور که اشاره شد مناسب‌ترین ساختار شبکه طراحی شده برای آموزش ترکیبی و همزمان داده‌های فاز و مقاومت ویژه دو مد قطبش پس از بررسیهای لازم به صورت شبکه‌ای سه لایه با ساختار ۳۹۶-۹-۹ انتخاب شده است. شبکه طراحی شده فوق در مرحله آزمایش به خطای  $RMS = 0.156$  دست یافت.

مقادیر میانگین خطای نسبی محاسبه شده به ازای هر پارامتر برای سری آزمایشی داده‌ها در جدول ۲ درج شده است.

همان‌طور که جدول فوق نشان می‌دهد، کمترین خطای به دست آمده مربوط به پارامتر ششم ( $\rho_2$ ) و بیشترین خطا مربوط به پارامتر نهم ( $\rho_d$ ) است. به رغم پوشش یکنواخت فضای مربوط به تمام پارامترها ملاحظه می‌شود که میزان خطای در مورد پارامترهای مختلف، متفاوت است. علت این امر را باید در نحوه یادگیری شبکه جستجو کرد. شبکه با استخراج مشخصه‌های بارز الگوهای ورودی سعی می‌کند با استفاده از الگوریتم آموزشی تعیین شده، رابطه بین این مشخصه‌ها را با پارامترهای خروجی به دست آورد. هر یک از پارامترهای خروجی تابعی از این مشخصه‌ها هستند. تقریب یک تابع برای تمام پارامترها که به وسیله آن بتوان در یک زمان ۹ پارامتر را برآورد کرد، موجب خواهد شد تا تابع تقریب شده توسط شبکه برای برآورد یکی از پارامترها مناسب‌تر از پارامتر دیگر باشد و یا به بیان دیگر میزان حساسیت شبکه به یک پارامتر بیشتر از پارامترهای دیگر باشد.

برای بررسی بهتر عملکرد شبکه، مدل واقعی و مدل برآورد شده توسط شبکه را برای یکی از مدل‌های آزمایشی مورد نظر در شکل ۶ نشان می‌دهیم. در این شکل، مدل واقعی با خط توپر و مدل داده شده توسط شبکه با خط‌چین نشان داده شده است. مقادیر عددی پارامترهای مدل واقعی و مدل بازسازی شده توسط شبکه نیز در جدول ۳ ارائه شده است. لازم به ذکر است واحد پارامترهای هندسی ارائه شده در همه جداولها، متر است.

با توجه به نتایج مندرج در جدول ۳ و همچنین با توجه به شکل ۶، ملاحظه می‌شود این شبکه از آموزش و تعمیم خوبی برخوردار بوده است به گونه‌ای که با ارائه نمونه‌ای که شبکه آن را در طی فرایند آموزش ندیده است (سری آزمایشی) غیر از محل مرازهای جانبی در بی‌亨جاری (توده) سمت راست، بقیه پارامترها از دقت قابل قبولی برخوردار است. در کل مقدار میانگین خطای نسبی روی تمام پارامترها  $3/98$  درصد است که این امر حاکی از دقت بالای شبکه در برآورد پارامترهای مدل می‌باشد.

برای بررسی رفتار شبکه در حضور نوفه، مقادیر ۵ و ۱۰ درصد نوفه با توزیع نرمال و میانگین صفر به طور تصادفی به داده‌های ورودی اضافه شد،

برای بررسی عملکرد و انتخاب برخی از پارامترهای شبکه، ابتدا یک شبکه کوچک‌تر با انتخاب ۳۰ مدل تصادفی از سری آموزشی ایجاد شد. جهت ارائه داده‌های ورودی به شبکه، داده‌های تولید شده به عنوان پاسخ هر مدل، به صورت بردار ستونی در ستونهای یک ماتریس قرار گرفت بنابراین ماتریسی حاصل شد که تعداد ستونهای آن معادل با تعداد مدل‌ها و تعداد سطرهای آن برابر با تعداد مؤلفه‌های اندازه‌گیری شده به ازای هر مدل بود.

منتاظر با هر بردار ستونی قرار گرفته در ماتریس ورودی، یک بردار ستونی شامل پارامترهای مدل در ماتریس خروجی قرار گرفت، بنابراین پارامترهای مدل نیز تشکیل ماتریسی با تعداد سطرهای برابر با تعداد پارامترهای مدل ( $=9$ ) و تعداد ستونهای برابر با تعداد مدل‌های به کار گرفته برای آموزش شبکه، را داد.

برای ارائه تصویر کاملی از زمین، مقادیر مقاومت ویژه ظاهری و فاز پاگیری هر یک از مدل‌ها که در ۹ ایستگاه (به فواصل ۱۵۰۰ m) و ۱۱ بسامد اندازه‌گیری شده بود، به صورت چهار پارامتر ورودی به ترتیب  $\rho_{xy}$ ،  $\rho_{yx}$  برای مدل TE و  $\rho_{yx}$  برای مدل TM به صورت یک بردار ستونی قرار گرفت. هر پارامتر خود یک بردار ستونی مشکل از  $9 \times 11 = 99$  مؤلفه می‌باشد. بنابراین هر ستون از ماتریس ورودی شامل  $396 \times 99 = 4 \times 99$  مؤلفه است.

به تدریج تعداد مدل‌های بیشتری به ماتریس ورودی و خروجی اضافه شد، و ملاحظه شد که با افزایش تعداد نمونه‌های آموزشی مناسب به شبکه، دقت برآورد پارامترهای مدل افزایش و شبکه به خطای کمتری دست می‌یابد (جدول ۱).

در نهایت شبکه نسبتاً بزرگی با ماتریس ورودی به ابعاد  $396 \times 498$  و ماتریس خروجی به ابعاد  $9 \times 498$  تشکیل شد. سطح خطای هدف در فضای بهنجار نیز  $0/001$  در نظر گرفته شد.

تعیین تعداد لایه‌ها و نرونها لایه پنهان به صورت آزمون و خطا انجام شد. ابتدا یک شبکه سه لایه‌ای انتخاب شد و عملکرد شبکه به ازای تعداد مختلف نرونها پنهان بررسی شد و تعداد ۹ نرون پنهان انتخاب شد. سپس لایه پنهان دیگری به شبکه اضافه شد و در حالی که تعداد نرونها پنهان در لایه اول ثابت بود عملکرد شبکه به ازای تعداد مختلف نرونها پنهان در لایه دوم بررسی شد. به این ترتیب شبکه‌ای سه لایه با ساختار ۳۹۶-۹-۹ طراحی شد. این ساختار نشان می‌دهد که تعداد نرونها موجود در لایه ورودی برابر با تعداد داده‌های موجود در دو مدل TE و TM یعنی  $396$  بوده، تعداد نرونها موجود در لایه میانی (لایه پنهان) ۹ عدد و تعداد نرون در لایه خروجی برابر با تعداد پارامترهای مدل مورد نظر یعنی ۹ است.



می‌شود گستره این تغییرات در اغلب نقاط بین ۸۰۰ تا ۱۰۰۰ اهم - متر است. در صورتی که در هر یک از نمونه‌های آموزشی مورد استفاده در شبکه، مقدار مقاومت ویژه زمینه در حین مدل سازی ثابت در نظر گرفته شده است. با این وجود مقدار پارامتر برآورده شده مقاومت ویژه زمینه توسط شبکه ۹۵۴/۸۴ اهم متر می‌باشد که در گستره تعیین شده در مقطع مدل سازی هموار قرار دارد، که این امر بینگر میزان دقت شبکه می‌باشد. از آنجا که اطلاعات اضافی دیگری از منطقه مورد مطالعه موجود نیست از این رو با وضع موجود و بدون اطلاعات اضافی دیگر و یا پیش از حفاری نمی‌توان در مورد صحت نتایج اظهار نظر و یا اینکه تعیین کرد که کدام یک این دو روش دقیق‌تر است. از آنجا که مدل واقعی زمین بسیار پیچیده‌تر از کلاس مدل در نظر گرفته شده برای مدل سازی است، بنابراین چنانچه شکل هندسی مفروض برای بی‌亨جاريها به جای مستطيل، بيضي یا چند ضلعی انتخاب شود، شاید بتوان به دليل نزديک شدن به مدل واقعی زمین، نتایج بهتری دریافت کرد.

### نتیجه‌گیری

بررسی نتایج به دست آمده روی نمونه‌های آزمایشی نشان می‌دهد که شبکه‌های آموزش داده شده قادر به بازسازی مدل زیر سطحی با دقت قابل قبولی در نبود و یا حضور نوفه هستند. همچنین بررسی و مقایسه نتایج به دست آمده با استفاده از شبکه‌های عصبی برای یک مجموعه داده صحرایی و نتایج حاصل از مدل سازی وارون این داده‌ها با استفاده از یکی از روش‌های معمول معکوس سازی (RRI) نشان می‌دهد که با وجود انتخاب کلاس ساده‌ای برای داده‌های صحرایی، این دو روش در برآورد بسیاری از پارامترهای مدل زمینی با يك‌يگر همخوانی دارند. مزیت اصلی استفاده از شبکه‌های عصبی در وارونسازی داده‌ها این است که شبکه یک بار در کلاس خاصی از مسائل آموزش می‌بیند و چنانچه آموزش و تعمیم شبکه به خوبی صورت گیرد، شبکه قادر به برآورد خروجی برای یک ورودی معین در مدت زمان بسیار کوتاه می‌باشد. در این تحقیق به منظور ساده‌سازی مسئله، مقاومت ویژه بی‌亨جاريها برابر با هم و ثابت فرض شد، این مورد ممکن است در طیعت کمتر دیده شود. از این رو ترکیب نمونه‌های آموزشی متنوع‌تر در همین کلاس به منظور توأم‌نده کردن شبکه پیشنهاد می‌شود، همچنین در این شبکه تابع تحریک انتخاب شده برای نرونها هر لایه یکسان فرض شده است این در حالی است که ممکن است انواع دیگری از تابع تحریک برای برآورد هر پارامتر مناسب باشد، از این رو انتخاب و آزمایش تابع تحریک‌های متفاوت برای نرونها مختلف پیشنهاد می‌شود. اگر چه مطالعه حاضر قابلیت خوب شبکه‌های عصبی را برای مدل سازی داده‌های مگنتوتولوریک نشان داد

علت اضافه کردن نوفه به داده‌ها، شبیه‌سازی تقریبی شرایط صحرایی و بررسی رفتار شبکه در برابر داده‌های صحرایی است. البته ساختار نوفه تزریقی به داده‌ها بسیار ساده است در حالی که نوفه موجود در طبیعت پیچیده‌تر می‌باشد. از این رو این شبیه‌سازی تقریبی است. بررسیهای انجام شده در مطالعه حاضر نشان می‌دهد که تزریق نوفه روی داده‌ها سبب افزایش خطای مدل سازی می‌شود به طوری که با افزایش ۳، ۵، و ۱۰ درصدی نوفه، خطای RMS شبکه به ترتیب ۰/۲۳، ۰/۲۹ و ۰/۲۹ می‌شود.

از آنجا که در برداشت‌های صحرایی، حضور ۵ درصد نوفه در داده‌ها معمول است، از این رو نمونه‌های انتخاب شده برای ارزیابی عملکرد شبکه‌ها در حضور نوفه از نمونه‌هایی انتخاب شد که اول اینکه جزو سری آزمایشی بودند، به بیان دیگر این نمونه‌ها در فرایند آموزش شرکت نداشتند و دوم اینکه ۵ درصد نوفه به آنها اضافه شده بود. جدول ۴ پاسخ شبکه را همراه با مدل واقعی در حضور ۵ درصد نوفه برای یکی از مدل‌های سری آزمایشی نشان می‌دهد.

مقادیر مندرج در جدول ۴ نشان می‌دهند که با وجود ۵ درصد نوفه شبکه توانسته پارامترهای مدل را با دقت قابل قبولی برآورد نماید. این امر با محاسبه میانگین خطای ۶/۹۶ درصدی برای این مدل مشهود است.

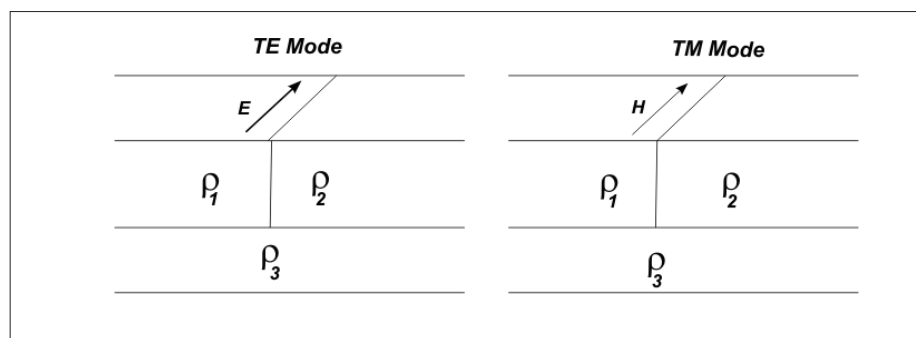
به منظور بررسی عملکرد شبکه در برابر داده‌های صحرایی، مدل سازی وارون ترکیبی داده‌های مگنتوتولوریک نشان داده شده در شکل‌های ۳ و ۴ توسط شبکه طراحی شده صورت گرفت و نتایج آن در جدول ۵ درآئه شد.

بر اساس مقادیر پارامترهای مندرج در جدول ۵، مدل نشان داده شده در بخش بالای شکل ۷ بازسازی شد. برای مقایسه، همچنین نتایج مدل سازی هموار ترکیبی داده‌های دو مقطع (Rapid Relaxation Inversion) PRI در بخش پایینی شکل ۷ نشان داده شده است.

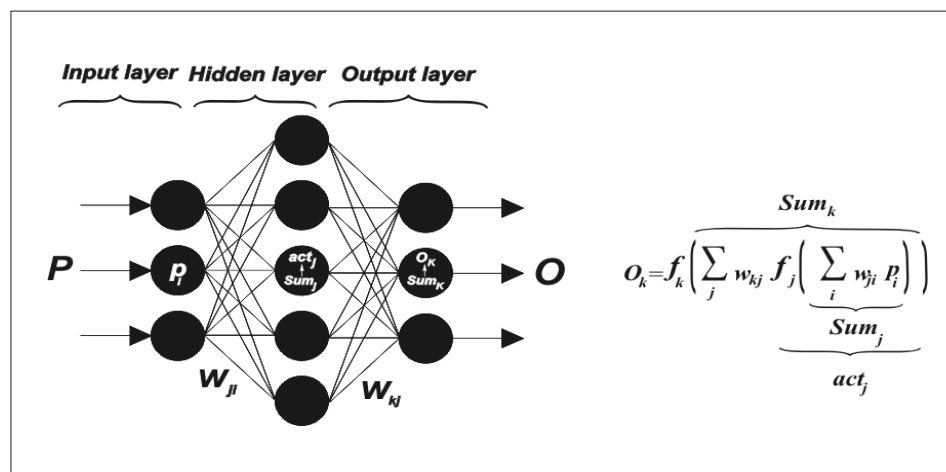
همان گونه که در این شکل دیده می‌شود، برآورد مختصات طولی بی‌亨جاريها (نوده‌ها) توسط شبکه با محل ارائه شده در مقطع مدل سازی هموار همخوانی دارد. با توجه به این که مدل سازی هموار قادر به برآورد دقیق مرزهای بی‌亨جاريها نیست و حدود بی‌亨جاريها به صورت هاله مشخص می‌شود، مشاهده می‌شود ابعاد حدودی بی‌亨جاريها شامل بعد عرضی بی‌亨جاري سمت چپ، ابعاد طولی و عرضی بی‌亨جاري سمت راست با مقادیر برآورد شده این پارامترها، توسط شبکه همخوانی دارد. ولی ژرفای و بعد طولی بی‌亨جاري سمت چپ با مقادیر برآورد شده توسط شبکه همخوانی کامل ندارد. همچنین روش مدل سازی هموار اجازه می‌دهد تا مقاومت ویژه زمینه تغییر تدریجی داشته باشد که با توجه به مقطع ارائه شده در شکل ۷ مشاهده

اینکه با بهره‌گیری از روش‌های فشرده‌سازی و یا نمونه‌گیری مجدد از داده‌ها یک شبکه کوچک‌تر که نیاز به سری آموزشی کمتری نیز دارد، ایجاد نمود و بدین طریق کار مدل‌سازی را با شبکه‌های عصبی ساده‌تر کرد. البته فشرده‌سازی اطلاعات باید به گونه‌ای انجام شود که ماهیت داده‌ها از بین نرود، در غیر این صورت نه تنها دقیقت افزایش نمی‌یابد بلکه به دلیل حذف اطلاعات مهم دقیقت کاهش می‌یابد. از این رو استفاده از روش‌های کاهش اندازه مانند استفاده از تبدیل فوریه پیشنهاد می‌شود.

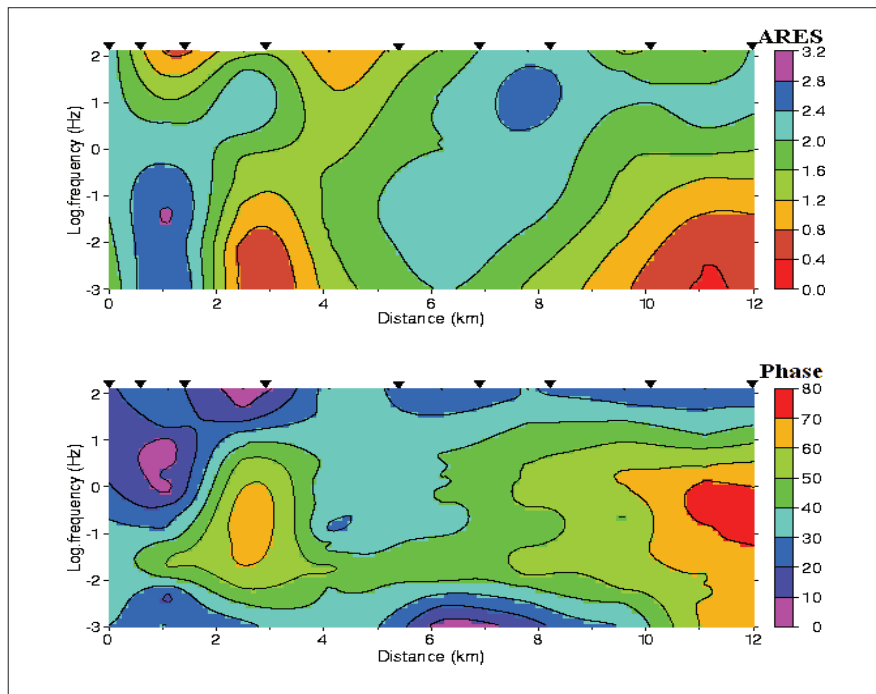
ولی باید توجه کرد که کار با این روش در مواقعي که ساختار مدل زمین مورد مطالعه پیچیده بوده و علاوه بر آن مدل‌سازی همزمان داده‌های دو مد قطبی همراه با داده‌های توپوگرافی باشد انجام مدل‌سازی کار ساده‌ای نخواهد بود. در چنین شرایطی، به دلیل ماهیت پیچیده شرایط زمین‌شناسی حاکم، پارامترهای مدل و یا حتی تعداد داده‌ها زیاد بوده و پردازش آنها از دشواریهای خاصی برخوردار خواهد بود. در این موارد بهتر است از دیگر روش‌های مدل‌سازی که بر پایه روش‌های کمترین مربعها هموار و یا جستجوی زیر فضایی استوار هستند برای تفسیر داده‌ها استفاده شوند و یا



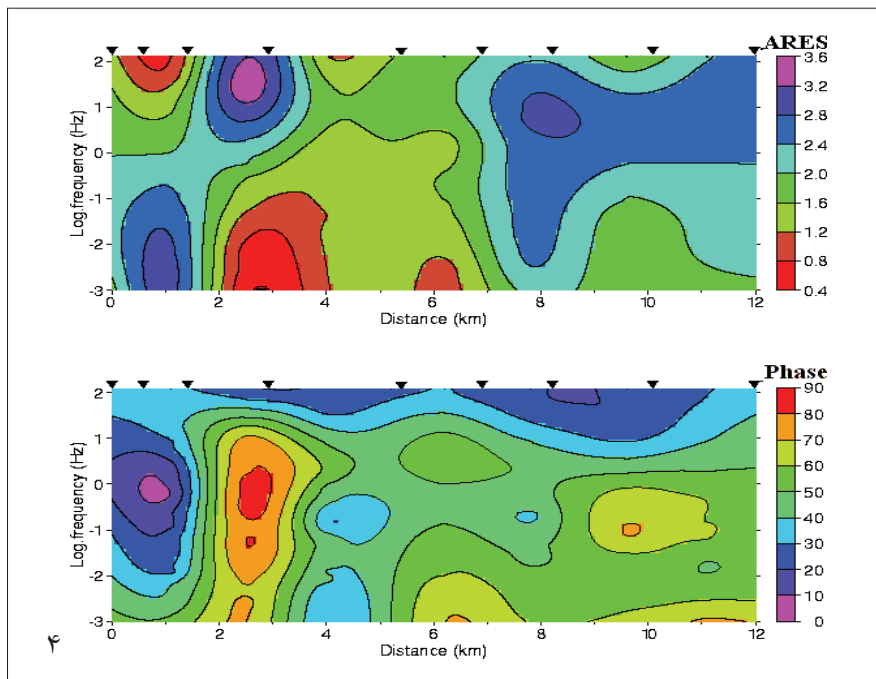
شکل ۱- نمایش دو مد قطبی در ساختارهای ژئوالکتریکی دو بعدی



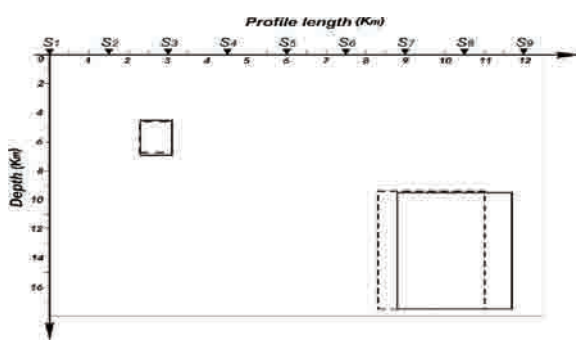
شکل ۲- یک شبکه سه لایه‌ای همراه با چگونگی ارتباط نرونها در آن



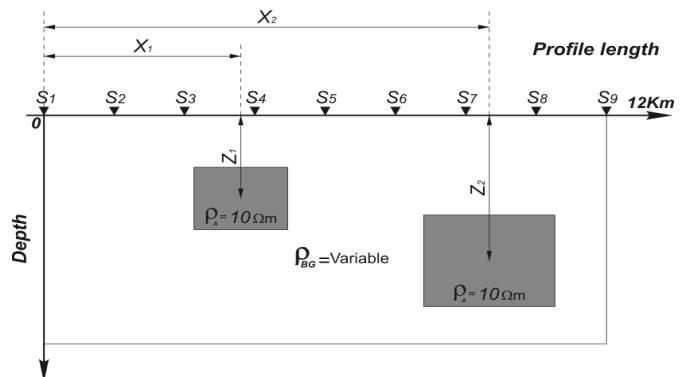
شکل ۳- شبیه مقاطع مقاومت ویژه(بالا) و فاز (پایین) برای داده‌های صحرایی مُد TE، مثلثهای وارون محل ایستگاههای اندازه‌گیری را نشان می‌دهند. در نقشه راهنمای لگاریتم مقادیر مقاومت ویژه (بر حسب اهم- متر) و مقادیر فاز به درجه آمده است (Moradzadeh, 2003)



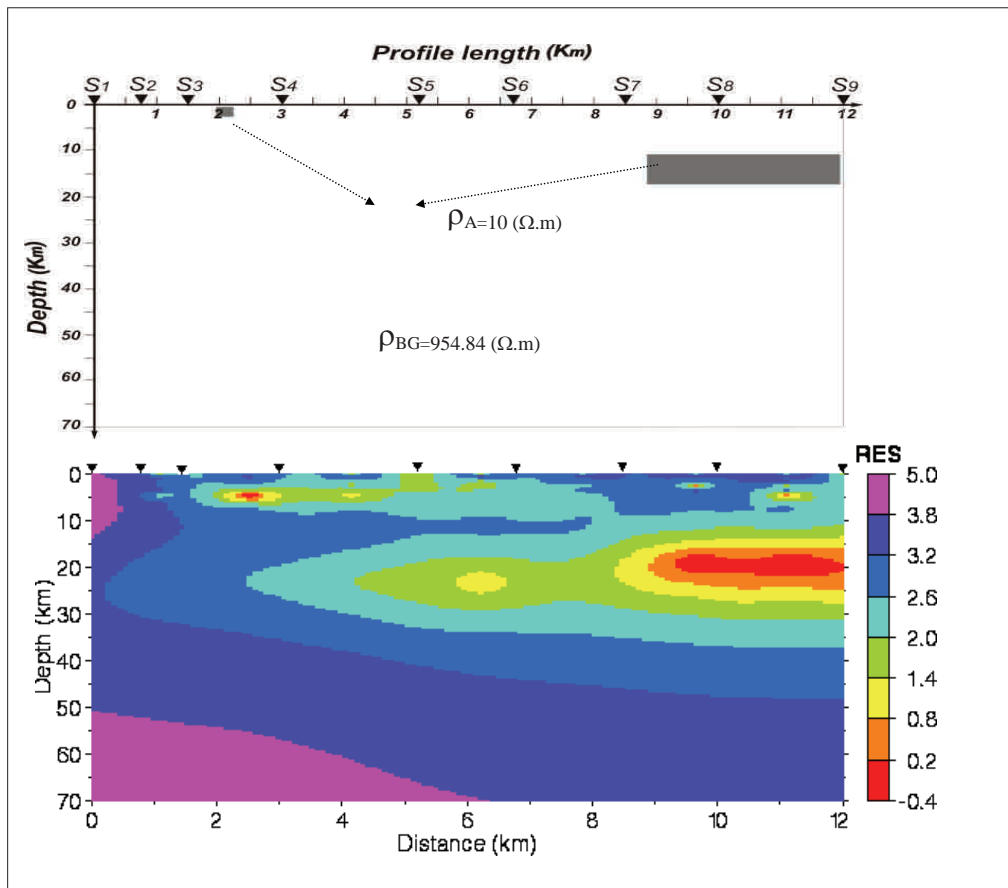
شکل ۴- شبیه مقاطع مقاومت ویژه(بالا) و فاز (پایین) برای داده‌های صحرایی مُد TM، مثلثهای وارون محل ایستگاههای اندازه‌گیری را نشان می‌دهند. در نقشه راهنمای لگاریتم مقادیر مقاومت ویژه (بر حسب اهم- متر) و مقادیر فاز به درجه آمده است (Moradzadeh, 2003)



شکل ۶- مدل واقعی (خط پر با نسبت  $\rho_{BG}/\rho_A = 50$ ) و مدل تخمینی توسط شبکه (خط چین با نسبت  $\rho_{BG}/\rho_A = 53/95$ )



شکل ۵- شمایی از کلاس مدل انتخاب شده (دو بی هنجاری رسانای مدفون در یک نیم فضای همگن) مثلثهای وارون محل ایستگاههای اندازه گیری را با فاصله یکسان ۱۵۰۰ متر نشان می دهد.



شکل ۷- نتایج مدل سازی وارون ترکیبی داده های صحرایی شکل ۳ و ۴، مدل داده شده توسط شبکه در بالا و مدل حاصل از روش RRI در پایین شکل آمده است (توجه شود که لگاریتم مقادیر مقاومت ویژه در مدل پایینی آورده شده است).



جدول ۱- تغییرات خطای RMS با افزایش تعداد نمونه‌ها

تعداد کل مجموعه نمونه‌های ارائه شده به شبکه	خطای RMS
۱۲۴	۰/۲۹
۱۵۵	۰/۲۰
۱۸۵	۰/۲۶
۴۹۸	۰/۱۵۶

جدول ۲- مقادیر عددی میانگین خطای نسبی به ازای هر پارامتر

پارامتر	c	x <sub>1</sub>	z <sub>1</sub>	d <sub>1</sub>	d <sub>2</sub>	x <sub>2</sub>	z <sub>2</sub>	d <sub>3</sub>	d <sub>4</sub>
درصد خطأ	۱۰/۵۴۶	۱۲/۹۱۷	۱۳/۵۰۷	۱۶/۳۰۷	۱۲/۴۵	۶/۲۲۸	۱۸/۲	۱۰/۸۵۹	۲۰/۷۱۲

جدول ۳- مقادیر عددی پارامترهای واقعی و برآورد شده توسط شبکه برای یکی از نمونه‌های آزمایشی

پارامترهای مدل	مدل واقعی	مدل برآورده شده توسط شبکه
c	۵۰	۵۳/۹۵
x <sub>1</sub>	۲۷۰۰	۲۶۹۱/۸
z <sub>1</sub>	۵۷۰۰	۵۶۶۷/۸
d <sub>1</sub>	۴۰۰	۴۰۷/۹۶
d <sub>2</sub>	۱۲۰۰	۱۰۷۴
x <sub>2</sub>	۱۰۲۵۰	۹۶۵۹/۵
z <sub>2</sub>	۱۳۵۰۰	۱۳۴۴۶
d <sub>3</sub>	۱۴۵۰	۱۳۴۸/۶
d <sub>4</sub>	۴۰۰۰	۴۰۶۲

جدول ۴- مقادیر پارامترهای واقعی و برآورد شده توسط شبکه برای یکی از نمونه‌های آزمایشی در حضور ۵ درصد نویه

پارامترهای مدل	مدل واقعی	مدل برآورد شده توسط شبکه
c	۵۰	۵۵/۰۵۲
x <sub>1</sub>	۲۷۰۰	۲۶۲۸/۴
z <sub>1</sub>	۵۷۰۰	۵۰۸۱/۶
d <sub>1</sub>	۴۰۰	۴۱۰/۳۶
d <sub>2</sub>	۱۲۰۰	۱۰۶۷/۹
x <sub>2</sub>	۱۰۲۵۰	۹۷۹۴/۴
z <sub>2</sub>	۱۳۵۰۰	۱۲۴۳۴
d <sub>3</sub>	۱۴۵۰	۱۳۴۱/۸
d <sub>4</sub>	۴۰۰۰	۴۲۲۹

جدول ۵- نتایج مدل سازی وارون ترکیبی داده‌های صحرایی توسط شبکه

پارامترهای مدل	پاسخ شبکه
c	۹۵/۴۸۴
x <sub>1</sub>	۲۰۸۹/۱
z <sub>1</sub>	۱۴۸۹/۵
d <sub>1</sub>	۱۲۱/۷۵
d <sub>2</sub>	۸۷۱/۰۱
x <sub>2</sub>	۱۰۴۰۰
z <sub>2</sub>	۱۴۰۲۳
d <sub>3</sub>	۱۵۲۷/۷
d <sub>4</sub>	۳۰۶۴

### کتابنگاری

- مرادزاده، ع.، عرب امیری، ع.، ر.، ۱۳۸۳، - مدل سازی معکوس پارامتری داده‌های پلاریزاسیون القابی و مقاومت ویژه اندیس معدنی پایینده. هشتمين همايش انجمان زمين شناسی ايران، شهریور ۸۳، دانشگاه صنعتی شاهرود.
- منهاج، م.ب.، ۱۳۷۹، - مبانی شبکه‌های عصبی مصنوعی. جلد اول و دوم، انتشارات دانشگاه صنعتی اميركبير.

## References

- Berdichevsky, M.N., Dmitriev, V.I. & Pozdnjakova, E.E., 1998- On two-dimensional interpretation of magnetotelluric soundings. *Geophys. J. Int.*, 133, 585-606.
- Dobrin, M.B. & Sovit, C.H., 1988- Introduction to Geophysical prospecting. McGraw-Hill ,Inc, 868.
- Kaufman, A.A. & Keller, G.V., 1981- The magnetotelluric sounding method. Elsevier, 595.
- Mackie, R.L., Madden, T.R. & Wannamaker, P.E., 1993- Three-dimensional magnetotelluric modelling using difference equations - Theory and comparisons to integral equations. *Geophysics*, 58, 215-226.
- Melsa, P.J.W., 1989- Neural Networks: A Conceptual Overview. Tellabs Research Center.
- Moradzadeh, A., 2003- Static shift appraisal and its correction in magnetotelluric (MT) surveys. The 21<sup>st</sup> symposium on geosciences. Tehran, Iran.
- Moradzadeh, A., 1998- Electrical imaging of the Adelide geosyncline using magnetotelluric (MT). Ph.D Thesis, Flinders University of south Australia, 334.
- Poulton, M.M., 2001- Computational neural networks for geophysical data processing. PERGAMON, 335.
- Poulton, M.M., Sternberg, B.K. & Glass, C.E., 1992- Location of subsurface targets in geophysical data using neural networks. *Geophysics*, 57, 1534-1544.
- Spichak, V. & Popova, I., 2000- Artificial neural network inversion of magnetotelluric data in terms of three- dimensional earth macroparameters. *Geophys. J. Int*, 142, 15-26.
- Stoyer, C., Zerelli, A., Slee, C. & Buttler, M.S., 1999- Manual of EMIXMT2D. Interpex.
- Telford, W.M., Geldart, L.P. & Sheriff, R.E., 1990- Applied Geophysics. Cambridge University Press, 770.
- The MathWork, I., 2002- Matlab user manual, The language of technical computing.
- Turhan, M., 1995- Neural networks and computation of neural network weights and biases generalized delta rule and backpropagation of errors. [http://www.discoby.com/pdf/neural\\_network](http://www.discoby.com/pdf/neural_network).
- Van der Bean, M. & Jutten, C., 2000- Neural networks in geophysical applications. *Geophysics*, 65, 1032-1047.
- Vozoff, K., 1991- The magnetotelluric method. In: Nabighian, M.N. (Ed), Electromagnetic Method In Applied Geophysics. Society of Exploration Geophysicist, 641-712.
- Wannamaker, P.E., Stodt, J.A. & Rijo, L., 1987- A stable finite element solution for two-dimensional magnetotelluric modelling. *Geophys. J. R. astr. Soc.*, 88, 277-296.
- Zonge, K.L. & Hughes, L.J., 1991- Control source audio-frequency magnetotellurics. In: Nabighian, M.N. (Ed), Electromagnetic Methods In Applied Geophysics. Society of Exploration Geophysicists, 713-809.